

**Zeitschrift:** Helvetica Physica Acta  
**Band:** 5 (1932)  
**Heft:** IV

**Artikel:** Problèmes d'images électriques dans les diélectriques. I  
**Autor:** Weigle, J.J.  
**DOI:** <https://doi.org/10.5169/seals-110170>

### **Nutzungsbedingungen**

Die ETH-Bibliothek ist die Anbieterin der digitalisierten Zeitschriften auf E-Periodica. Sie besitzt keine Urheberrechte an den Zeitschriften und ist nicht verantwortlich für deren Inhalte. Die Rechte liegen in der Regel bei den Herausgebern beziehungsweise den externen Rechteinhabern. Das Veröffentlichen von Bildern in Print- und Online-Publikationen sowie auf Social Media-Kanälen oder Webseiten ist nur mit vorheriger Genehmigung der Rechteinhaber erlaubt. [Mehr erfahren](#)

### **Conditions d'utilisation**

L'ETH Library est le fournisseur des revues numérisées. Elle ne détient aucun droit d'auteur sur les revues et n'est pas responsable de leur contenu. En règle générale, les droits sont détenus par les éditeurs ou les détenteurs de droits externes. La reproduction d'images dans des publications imprimées ou en ligne ainsi que sur des canaux de médias sociaux ou des sites web n'est autorisée qu'avec l'accord préalable des détenteurs des droits. [En savoir plus](#)

### **Terms of use**

The ETH Library is the provider of the digitised journals. It does not own any copyrights to the journals and is not responsible for their content. The rights usually lie with the publishers or the external rights holders. Publishing images in print and online publications, as well as on social media channels or websites, is only permitted with the prior consent of the rights holders. [Find out more](#)

**Download PDF:** 05.04.2026

**ETH-Bibliothek Zürich, E-Periodica, <https://www.e-periodica.ch>**

# Problèmes d'images électriques dans les diélectriques I

par J. J. Weigle.

(29. VI. 1932.)

*Résumé.* On calcule les forces que les diélectriques exercent sur les charges ponctuelles: 1<sup>o</sup> Force due à une discontinuité dans le diélectrique; 2<sup>o</sup> Force due à une sphère diélectrique; 3<sup>o</sup> Force due à une couche finie de diélectrique et 4<sup>o</sup> Force sur une charge dans un diélectrique non homogène.

## 1. Introduction.

Une méthode expérimentale ingénieuse due à BECKER<sup>1)</sup> permet de déterminer les champs de force agissant sur les électrons au voisinage des solides. Il suffit en effet, pour obtenir ces renseignements, de mesurer le travail d'extraction des électrons, soit photoélectriquement, soit thermioniquement, avec différents champs électriques accélérateurs.

BECKER<sup>1)</sup>, ainsi que LAWRENCE et LINFORD<sup>2)</sup>, a pu vérifier pour les métaux purs qu'il existe une force attirant les électrons vers le métal, donnée, jusqu'à une distance de l'ordre de  $10^{-7}$  cm., par

$$F = - \frac{e^2}{4x^2},$$

où  $e$  est la charge électrique placée à une distance  $x$  du métal. Cette force n'est autre que la force d'image.

Cette force d'image joue donc un rôle certain quoique peut-être petit dans les phénomènes thermioniques et photoélectriques. Il ne faudrait pas croire en effet qu'elle constitue à elle seule la force contre laquelle l'électron doit faire du travail pour s'échapper. En effet, pour  $x = 0$ , la force deviendrait infinie, ce qui signifierait que jamais les électrons ne pourraient sortir du métal. Il va de soi qu'aux distances atomiques, la force qui agit sur les électrons provient individuellement des atomes du métal et non plus des propriétés macroscopiques du conducteur. Si l'on calcule le travail à fournir contre la force d'image à partir de  $10^{-7}$  cm. jusqu'à l'infini, on trouve 0,358 volt-électron, alors que le travail d'extraction des électrons est, pour le tungstène par exemple, de 4,52 volt-électrons. D'autre part, d'après la théorie de Sommerfeld,

<sup>1)</sup> BECKER et MULLER, Phys. Rev. **31**, 431, 1928.

<sup>2)</sup> LAWRENCE et LINFORD, Phys. Rev. **36**, 482, 1930.

le travail vrai qu'il faut fournir est plus considérable encore puisqu'une partie de l'énergie d'extraction est donnée par l'énergie cinétique des électrons à l'intérieur du métal et que cette énergie est beaucoup plus grande que celle admise par la théorie classique.

Les expériences de diffractions électroniques de RUPP<sup>1)</sup> peuvent, elles aussi, nous renseigner sur les forces agissant sur les électrons près des surfaces diffractantes. RUPP a montré que, pour les électrons de petites vitesses, il faut faire intervenir dans les calculs de diffraction la réfraction due au champ de force superficiel. Les expériences permettent de mesurer approximativement le potentiel intérieur des électrons. Or, les diffracteurs diélectriques semblent se comporter de façon opposée aux conducteurs.

Il pouvait donc sembler intéressant d'étudier d'une façon générale les forces d'images électriques dues à la présence de diélectriques puisque ces forces d'images jouent un rôle certain dans les phénomènes électroniques. Nous donnons dans cet article la solution de certains problèmes d'images qui nous ont semblé importants dans l'application pratique de cette théorie.

## 2. Forces d'images à la limite de deux diélectriques.

On trouve dans les traités d'électricité deux problèmes de diélectriques résolus au moyen de la théorie des images<sup>2)</sup>: celui d'une charge ponctuelle  $e$  dans un diélectrique semi-infini de constante diélectrique  $K_1$  placée à une distance  $a$  d'un autre diélectrique semi-infini de constante  $K_2$ , et celui de trois diélectriques séparés par des plans parallèles.

On trouve pour le premier de ces problèmes que le potentiel dans le premier diélectrique peut être considéré comme dû aux charges  $\frac{e}{K_1}$  en  $a$ , et

$$e_{12} = \frac{e}{K_1} \frac{K_1 - K_2}{K_1 + K_2} \quad (1)$$

placée en  $-a$  (fig. 1).

Le potentiel en  $K_2$  est dû à la charge

$$e'_{12} = \frac{2e}{K_1 + K_2} \quad (2)$$

<sup>1)</sup> RUPP, Leipz. Vortr. 1930, p. 1.

<sup>2)</sup> Voir ABRAHAM et FÖPPL, *Theorie der Elektrizität*, dritte Auflage, Teubner, Leipzig, 1907, p. 153, et MASCART et JOUBERT, *Leçons sur l'électricité et le magnétisme*, vol. 1, Masson, Paris, 1882, p. 153.

Ces charges sont des charges fictives (freie Elektrizität), ce qui explique la différence entre nos notations et celles du livre ABRAHAM<sup>1)</sup>. Pour calculer la force qui agit sur la charge  $e$ , il suffit donc de considérer la charge  $e_{12}$  qui seule produit en  $K_1$  un potentiel. On remarque que si  $K_1 > K_2$ , la charge  $e_{12}$  est positive,

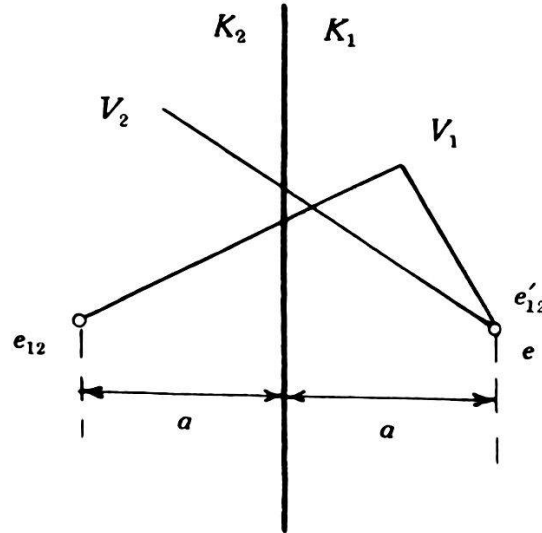


Fig. 1.

Charges d'images  $e_{12}$  et  $e'_{12}$  à la limite de deux diélectriques.

ce qui veut dire que la charge  $e$  sera repoussée par la discontinuité des diélectriques avec une force

$$F = \frac{e^2}{4 a^2 K_1} \frac{K_1 - K_2}{K_1 + K_2}. \quad (3)$$

Dans le cas contraire,  $K_2 > K_1$ , la charge d'image  $e_{12}$  est alors négative et la force sur  $e$  est une attraction de valeur absolue

$$\frac{e^2}{4 a^2 K_1} \frac{K_1 - K_2}{K_1 + K_2}.$$

Ce résultat est intéressant; supposons en effet une charge placée dans l'air ( $K_{\text{air}} = 1$ ) près d'un diélectrique de constante  $K_2$ . Comme  $K_{\text{air}} < K_2$ , la force est attractive; la charge alors, sous l'influence de cette force, ayant atteint la surface et pénétré à l'intérieur de  $K_2$ , se trouvera donc dans un milieu de constante diélectrique plus grande que celle régnant de l'autre côté de la discontinuité. Une force de répulsion agira donc, qui tendra à faire pénétrer de plus en plus loin à l'intérieur du diélectrique la charge considérée. Ce résultat est élémentaire, mais il nous a semblé suffisamment inconnu pour que nous le redonnions ici.

<sup>1)</sup> ABRAHAM et FÖPPL, loc. cit.

Considérons maintenant quelques applications de cet effet.

A) Tout d'abord, comparons les forces  $F_a$  dues aux diélectriques avec les forces d'images de conducteurs  $F_c$ . On trouve que

$$\frac{F_c}{F_a} = \frac{K_2 + 1}{K_2 - 1} \quad (K_1 = 1)$$

Si  $K_2$  est très grand, les deux forces sont égales. Si, par contre,  $K_2$  est très peu différent de l'unité, la force d'image est très petite.

Comparons aussi les forces  $F_1$  et  $F_2$  agissant de chaque côté d'une discontinuité  $K_1 K_2$ . On trouve

$$\frac{F_1}{F_2} = \frac{K_2}{K_1}.$$

Autrement dit, plus la constante diélectrique du milieu où se trouve la charge est grande, plus la force agissant sur cette charge est petite.

B) Supposons que, dans une solution électrolytique très diluée, nous ayons des ions de charge  $+e$  et  $-e$ . Supposons aussi que la constante diélectrique du solvant ne soit pas affectée par la présence de ces ions (ce qui est vrai en première approximation à petites concentrations). A la surface libre de la solution, les forces d'images diélectriques tendent à pousser ces ions vers l'intérieur de la solution. Calculons alors la concentration en fonction de la distance à la surface libre. Il doit y avoir équilibre entre la force d'image et la force provenant de la pression osmotique,

$$p = nkT,$$

où  $n$  est le nombre d'ions par  $\text{cm}^3$ ,  $k$  la constante de Boltzmann et  $T$  la température absolue. Si la concentration varie de point en point,

$$\frac{dp}{dx} = kT \frac{dn}{dx}$$

et la force agissant sur un élément de section  $q$  perpendiculaire à  $x$  et d'épaisseur  $dx$  sera

$$- \frac{dp}{dx} dxq$$

et la force agissant sur un ion devient

$$- \frac{dp}{dx} \frac{1}{n}.$$

Comme il doit y avoir équilibre entre cette force et la force d'image, on a

$$-\frac{dp}{dx} \frac{1}{n} + \frac{e^2}{4x^2 k K} \frac{K-1}{K+2} = 0$$

ou, en intégrant,

$$n = n_0 e^{-\frac{e^2}{4x^2 K k T} \frac{K-1}{K+2}},$$

où  $n_0$  est la concentration à l'intérieur du liquide.

**Table I.**

Valeurs de  $x$  (distance à la surface de la solution) pour lesquelles la concentration a diminué de 9,5% et de 0,9% pour des constantes diélectriques 80 et 5 et pour des ions monovalents et bivalents respectivement.

$K = 80$

$K = 5$

$\frac{n}{n_0}$	$e = 4,77 \cdot 10^{-10}$	$e = 2 \times 4,77 \cdot 10^{-10}$	$e = 4,77 \cdot 10^{-10}$	$e = 2 \times 4,77 \cdot 10^{-10}$
	$x$ (cm.)	$x$ (cm.)	$x$ (cm.)	$x$ (cm.)
0,905	$1,76 \cdot 10^{-7}$	$0,7 \cdot 10^{-6}$	$1,92 \cdot 10^{-6}$	$0,77 \cdot 10^{-5}$
0,991	$1,76 \cdot 10^{-6}$	$0,7 \cdot 10^{-5}$	$1,92 \cdot 10^{-5}$	$0,77 \cdot 10^{-4}$

En supposant  $T = 300^\circ$ , on trouve alors les résultats contenus dans la table I. On voit donc que ces forces d'images diélectriques ne sont pas négligeables puisque, dans une solution de constante diélectrique 5 et d'ions bivalents, la concentration à 0,7 millièmes de mm. de la surface a diminué de 1%.

On pourrait aussi considérer les solutions faites d'ions de différentes charges, sur lesquels les forces d'images agiraient donc différemment. On voit immédiatement que les ions de plus grande charge seront plus fortement repoussés vers l'intérieur de la solution que les ions de plus petite charge.

### 3. Force d'image à la limite entre un conducteur et un diélectrique.

Supposons un conducteur au potentiel 0 limité à partir de  $x = 0$  par un diélectrique de constante  $K$ . Une charge  $e$  placée dans le diélectrique à une distance  $x$  du conducteur a pour image une charge  $\frac{e}{K}$  placée à  $-x$ , comme on le voit immédiatement. La charge sera donc attirée par une force

$$F = \frac{e^2}{4x^2 K}, \quad (4)$$

c'est à dire une force  $K$  fois plus petite que si le diélectrique avait été absent.

Si le travail d'extraction des électrons est constitué en grande partie par le travail qu'il faut fournir contre la force d'image, ce travail sera fortement diminué par la présence du diélectrique. Il n'est pas impossible que cet effet joue un rôle important en thermionique ou en photoélectricité. Nous nous réservons de revenir sur ce point. Toutefois, nous ne pensons pas que les problèmes que l'effet des diélectriques pose puissent être résolus d'une façon quantitative. On sait combien les phénomènes thermioniques et photoélectriques sont sensibles aux conditions de surface et par conséquent on peut imaginer combien la présence d'un diélectrique adhérent à la surface du métal pourra changer les conditions d'émission des électrons indépendamment de l'effet d'image diélectrique dont nous parlons ici. Il est possible encore que l'effet photovoltaïque et le fonctionnement des piles dépendent en quelque façon de la diminution du travail d'extraction des électrons, produite par le diélectrique.

#### 4. Images d'une sphère diélectriques.

Supposons une sphère de rayon  $a$ , constante diélectrique  $K$  placée dans un diélectrique de constante unité. Une charge  $e$  est à une distance  $d > a$  du centre de la sphère (fig. 2).

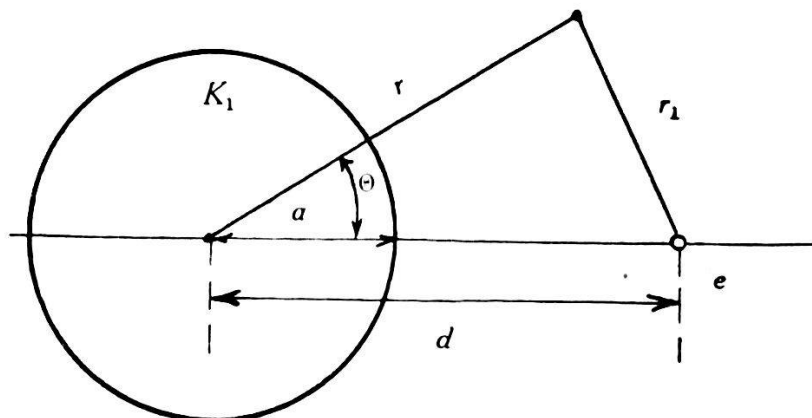


Fig. 2.

Sphère diélectrique dans le champ d'une charge  $e$ .

On cherche donc le potentiel à l'extérieur et à l'intérieur de la sphère.

Lorsqu'on tâche de résoudre ce problème par la méthode des images, on trouve qu'une seule image (comme dans le cas de la sphère conductrice) ne conduit pas au résultat cherché. Nous avons donc décidé de procéder par la méthode des fonctions de Legendre.

Nous supposons donc le potentiel comme dû à la charge  $e$  et à une couche d'électricité fictive de densité  $\sigma$  à la surface de la sphère. Cette densité peut être développée en série de polynômes de Legendre :

$$\sigma = \sum_{n=0}^{\infty} C_n P_n ,$$

où les  $C_n$  sont des constantes et les  $P_n$  les polynômes de Legendre.

Le potentiel  $V_e$  à l'extérieur de la sphère est alors donné par :

$$V_e = \frac{e}{r_1} + 4 \pi a \sum_{n=0}^{\infty} \left( \frac{a}{r} \right)^{n+1} \frac{C_n P_n}{2n+1}$$

et le potentiel à l'intérieur par :

$$V_i = \frac{e}{r_1} + 4 \pi a \sum_{n=0}^{\infty} \left( \frac{r}{a} \right)^n \frac{C_n P_n}{2n+1} .$$

$r_1$  est la distance de la charge  $e$  au point où l'on mesure le potentiel. On a donc :

$$r_1 = d \sqrt{\frac{r^2}{d^2} + 1 - 2 \frac{r}{d} \cos \Theta}$$

et

$$\frac{e}{r_1} = \frac{e}{d} \sum_{n=0}^{\infty} \left( \frac{r}{d} \right)^n P_n .$$

Les conditions aux limites du problème sont :

$$\left. \begin{array}{l} V_i = V_e \\ K \frac{\partial V_i}{\partial r} = \frac{\partial V_e}{\partial r} \end{array} \right\} \text{à } r = a .$$

La première condition est réalisée immédiatement grâce à la supposition que nous avons faite (distribution d'électricité à la surface de la sphère). La seconde donne :

$$\begin{aligned} & \sum_{n=0}^{\infty} \left[ \frac{e}{d^2} n \left( \frac{a}{d} \right)^{n-1} + 4 \pi \frac{n+1}{2n+1} C_n \right] P_n = \\ & = \sum_{n=0}^{\infty} \left[ K \frac{e}{d^2} n \left( \frac{a}{d} \right)^{n-1} + 4 \pi K \frac{n}{2n+1} C_n \right] P_n . \end{aligned}$$

Pour que ces deux expressions soient identiques, il faut que les coefficients des  $P_n$  soient égaux. On a donc :

$$C_n = - \frac{e}{d^2} \frac{K-1}{K+1+\frac{1}{n}} \left(\frac{a}{d}\right)^{n-1} \frac{2n+1}{4\pi}.$$

Et les potentiels deviennent alors :

$$V_e = \frac{e}{r_1} - \frac{e}{d} \sum_{n=0}^{\infty} \left(\frac{a}{d}\right)^n \left(\frac{a}{r}\right)^{n+1} \frac{K-1}{K+1+\frac{1}{n}} P_n$$

$$V_i = \frac{e}{r_1} - \frac{e}{d} \sum_{n=0}^{\infty} \left(\frac{r}{d}\right)^n \frac{K-1}{K+1+\frac{1}{n}} P_n.$$

On voit immédiatement que ces potentiels satisfont à l'équation de Laplace. Ils sont donc la solution de notre problème. On voit aussi que l'influence de la sphère sur le champ électrique n'est pas susceptible d'être mise sous la forme d'une image (charge ponctuelle). Il semble que la densité :

$$\sigma = \sum_{n=0}^{\infty} C_n P_n = - \frac{e}{4\pi d^2} \sum_{n=0}^{\infty} \left(\frac{a}{d}\right)^{n-1} (2n+1) P_n$$

répandue sur toute la sphère soit la représentation la plus simple du phénomène.

On reconnaît facilement que cette solution redonne bien à la limite le cas connu de la sphère diélectrique placée dans un champ uniforme. Il suffit pour cela de faire tendre  $e$  et  $d$  vers l'infini, en sorte que  $\frac{e}{d^2}$  tende vers une valeur finie  $\frac{E}{2}$ ,  $E$  étant le champ uniforme dans lequel la sphère se trouve placée. Il faut évidemment supposer une autre charge  $-e$  placée à  $-d$ . On trouve alors en négligeant les termes en  $\frac{e}{a^n}$  ( $n > 2$ ).

$$V_e = E r \cos \Theta \left(1 - \frac{a^3}{r^3} \frac{K-1}{K+2}\right)$$

et

$$V_i = E r \cos \Theta \frac{3}{K+2}.$$

D'autre part, il est facile de vérifier que si  $k$  tend vers l' $\infty$  on retrouve les résultats du problème de la sphère conductrice.

Pour donner une idée de l'ordre de grandeur de la force avec laquelle une charge est attirée par une sphère diélectrique, nous avons calculé cette force au moyen des formules ci-dessus pour  $k = 3$  et  $d = 2a$ . On trouve approximativement:

$$F = \frac{e^2}{(\sqrt{2} a)^2}.$$

On voit donc que la sphère attire la charge avec une force comparable à celle due à une autre charge placée à une distance  $\sqrt{2}a$  de la première. Cette force n'est donc pas négligeable.

### 5. Images d'une couche de diélectrique.

Ce problème a déjà été résolu<sup>1)</sup>, mais comme nos notations diffèrent de celles employées par Mascart et Joubert et que, dans un paragraphe suivant, nous aurons besoin de ces résultats, nous pensons bien faire en redonnant ici une démonstration simple.

Supposons donc l'espace occupé par trois diélectriques (fig. 3)  $K_1$  s'étendant de  $x = 0$  à  $x = \infty$ ,  $K_2$  de  $x = 0$  à  $x = -d$  et

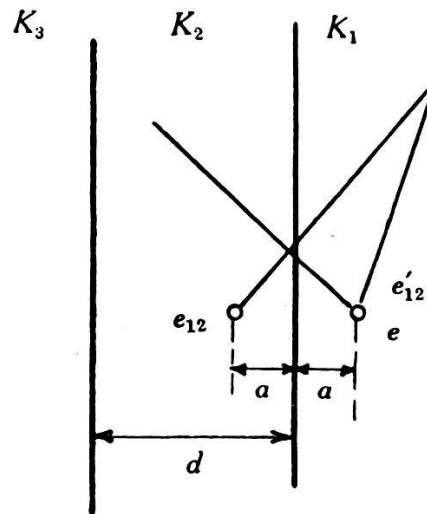


Fig. 3.

Images d'une couche de diélectrique

$K_3$  de  $x = -d$  à  $x = -\infty$ . Une charge  $e$  est placée en  $+a$ . On pourrait facilement calculer le potentiel dans chacun des diélectriques, mais comme ce qui nous intéresse est la force agissant sur  $e$ , nous nous bornerons à obtenir celle-ci. Pour satisfaire aux conditions aux limites à  $x = 0$ , il faut prendre comme images deux charges  $e_{12}$  en  $-a$  et  $e'_{12}$  en  $+a$ .

<sup>1)</sup> MASCART et JOUBERT, loc. cit.

$\frac{e}{K_1}$  et  $e_{12}$  donnent le potentiel en  $K_1$  et  $e'_{12}$  celui en  $K_2$ . Nous avons vu au paragraphe 2 (éq. (1) et (2)) les valeurs de ces deux charges. Mais avec ces charges, les conditions aux limites ne sont pas vérifiées sur la surface  $x = -d$ , car le potentiel dû à  $e'_{12}$  n'est pas « équilibré » sur cette surface. Un raisonnement

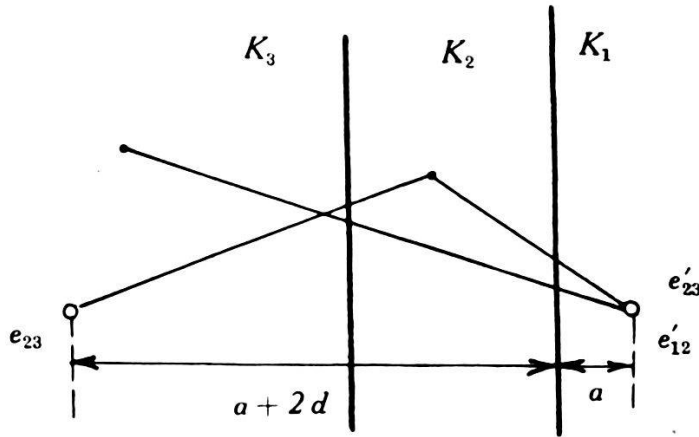


Fig. 4.

semblable à celui du paragraphe 2 nous oblige à introduire deux nouvelles charges (fig. 4)  $e_{23}$  en  $x = -(a + 2d)$  et  $e'_{23}$  en  $x = a$ .

Ces deux charges sont données suivant les formules du paragraphe 2 par

$$e_{23} = e'_{12} \varepsilon_{23} \quad \text{et} \quad e'_{23} = e'_{12} \mu_{23}$$

avec

$$\varepsilon_{ij} = \frac{K_i - K_j}{K_i + K_j} \quad \mu_{ij} = \frac{2 K_i}{K_i + K_j} \quad (7)$$

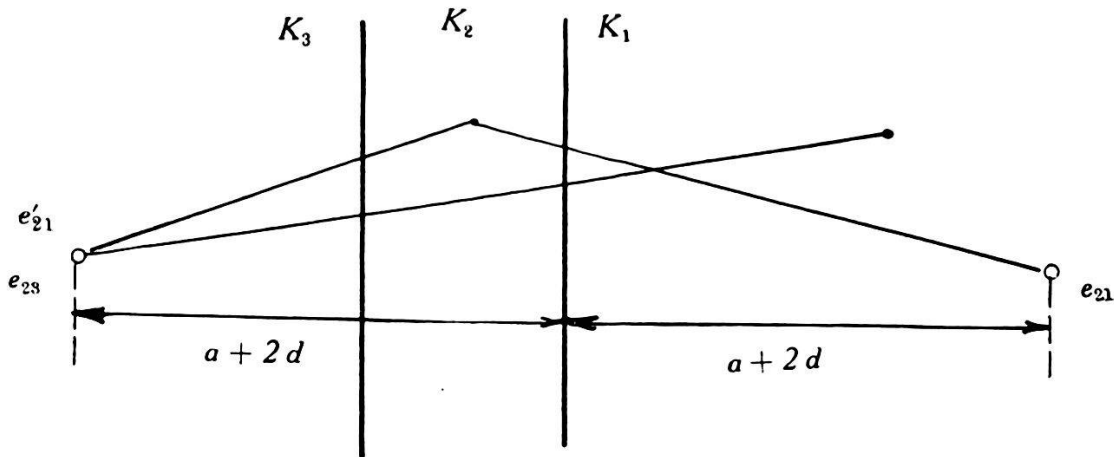


Fig. 5.

Mais nous avons introduit, avec la charge  $e_{23}$ , une nouvelle source de potentiel en  $K_2$ , qu'il nous faut « équilibrer » à  $x = 0$ . Ce qu'on fait en introduisant (fig. 5) deux nouvelles charges  $e_{21}$  et  $e'_{21}$ , qui sont données

par

$$e_{21} = e_{23}\varepsilon_{21} \quad \text{et} \quad e'_{21} = e_{23}\mu_{21}.$$

De nouveau, le potentiel dû à  $e_{21}$  en  $K_2$  n'est plus « équilibré ». On est conduit finalement à introduire une série infinie d'images qui donnent les résultats suivants:

Distances:                      Charges produisant un potentiel en  $K_1$ :

$$\begin{array}{ll} a & \frac{e}{K_1} \\ -a & \frac{e}{K_1} \varepsilon_{12} \\ \vdots & \vdots \\ -(a + 2d) & \frac{e}{K_1} \mu_{12} \varepsilon_{23} \mu_{21} \\ \vdots & \vdots \\ -(a + nd) & \frac{e}{K_1} \mu_{12} \mu_{21} \varepsilon_{23} (\varepsilon_{23} \varepsilon_{21})^{n-1}. \end{array}$$

Distances:                      Charges produisant un potentiel en  $K_2$ :

$$\begin{array}{ll} a & \frac{e}{K_1} \mu_{12} \\ - (a + 2d) & \frac{e}{K_1} \mu_{12} \varepsilon_{23} \\ \vdots & \vdots \\ + (a + 2d) & \frac{e}{K_1} \mu_{12} \varepsilon_{23} \varepsilon_{21} \\ \vdots & \vdots \\ - (a + 2nd) & \frac{e}{K_1} \mu_{12} (\varepsilon_{23} \varepsilon_{21})^{n-1} \varepsilon_{21} \\ \vdots & \vdots \\ + (a + 2nd) & \frac{e}{K_1} \mu_{12} (\varepsilon_{23} \varepsilon_{21})^n \end{array}$$

Distances:                      Charges produisant un potentiel en  $K_3$ :

$$\begin{array}{ll} a & \frac{e}{K_1} \mu_{12} \mu_{23} \\ \vdots & \vdots \\ a + 2d & \frac{e}{K_1} \mu_{12} \varepsilon_{23} \varepsilon_{21} \mu_{23} \\ \vdots & \vdots \\ a + 2nd & \frac{e}{K_1} \mu_{12} (\varepsilon_{23} \varepsilon_{21})^n \mu_{23}. \end{array}$$

Ces séries infinies d'images suffisent à déterminer complètement les potentiels cherchés.

Calculons encore la force agissant sur la charge  $e$ . On trouve

$$F = \frac{e^2}{K_1} \left[ \frac{\varepsilon_{12}}{(2a)^2} + \mu_{12} \mu_{21} \varepsilon_{23} \sum_{n=1}^{\infty} \frac{(\varepsilon_{23} \varepsilon_{21})^{n-1}}{[2(a+nd)]^2} \right]. \quad (8)$$

Si la charge  $e$  avait été placée dans le diélectrique fini  $K_2$  (voir

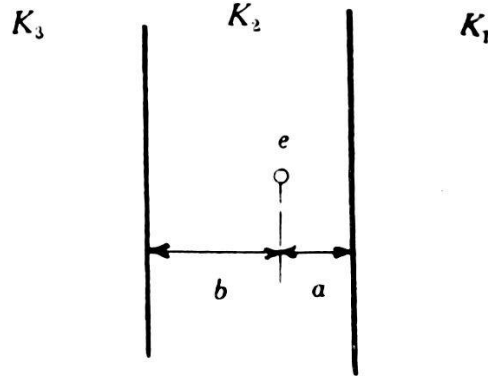


Fig. 6.

fig. 6), on aurait trouvé qu'en  $K_1$  les potentiels sont dus aux images

$$\text{et} \left. \begin{array}{l} \frac{e}{K_2} (\varepsilon_{21} \varepsilon_{23})^n \mu_{21} \quad \text{à} \quad x = -(a + 2nd) \\ \frac{e}{K_2} \varepsilon_{23} \mu_{21} (\varepsilon_{21} \varepsilon_{23})^n \quad \text{à} \quad x = -(b + 2nd) \end{array} \right\} n = 0, 1, 2 \dots \infty$$

En  $K_3$ :

$$\text{et} \left. \begin{array}{l} \frac{e}{K_2} \varepsilon_{21} \mu_{23} (\varepsilon_{23} \varepsilon_{21})^n \quad \text{à} \quad x = a + 2nd \\ \frac{e}{K_2} (\varepsilon_{23} \varepsilon_{21})^n \mu_{23} \quad \text{à} \quad x = b + (2n-1)d \end{array} \right\} n = 0, 1, 2 \dots \infty$$

Enfin, en  $K_2$ :

$$\left. \begin{array}{l} \frac{e}{K_2} (\varepsilon_{21} \varepsilon_{23})^n \quad \text{à} \quad x = -(a + 2nd) \\ \frac{e}{K_2} \varepsilon_{21} (\varepsilon_{21} \varepsilon_{23})^n \quad \text{à} \quad x = a + 2nd \\ \frac{e}{K_2} (\varepsilon_{23} \varepsilon_{21})^{n+1} \quad \text{à} \quad x = b + (2n+1)d \\ \frac{e}{K_2} (\varepsilon_{21} \varepsilon_{23})^n \varepsilon_{23} \quad \text{à} \quad x = -[b + (2n+1)d] \end{array} \right\} n = 0, 1, 2 \dots \infty.$$

La force agissant sur  $e$  devient donc (en comptant les forces dirigées suivant la direction positive des  $x$  comme positions):

$$F = \frac{e^2}{K^2} \left[ \sum_{n=1}^{\infty} \frac{(\epsilon_{21} \epsilon_{23})^n}{(2nd)^2} - \sum_{n=0}^{\infty} \frac{\epsilon_{21} (\epsilon_{21} \epsilon_{23})^n}{[2(a+nd)]^2} - \sum_{n=0}^{\infty} \frac{(\epsilon_{23} \epsilon_{21})^{n+1}}{[2(n+1)d]^2} + \sum_{n=0}^{\infty} \frac{\epsilon_{23} (\epsilon_{21} \epsilon_{23})^n}{[2(b+nd)]^2} \right].$$

**6. Forces agissant sur une charge dans un diélectrique de constante diélectrique variable.**

Les forces d'image à la limite entre deux diélectriques deviennent infinies. On ne peut donc calculer par exemple le potentiel de contact entre deux diélectriques. Il nous a semblé intéressant de calculer la force agissant sur une charge placée dans un diélectrique dont la constante varie (avec  $x$  seulement) de façon à tourner la difficulté introduite par la discontinuité. Supposons donc le diélectrique fait de couches minces d'épaisseur  $d = \Delta x$ . La constante diélectrique variera très peu d'une couche à l'autre et nous supposerons cette variation si petite que nous négligerons tous les termes qui contiennent cette différence à une puissance plus élevée que la première.

On trouve alors, après quelques calculs faciles, que les images non négligeables produisant un potentiel dans la région de la charge  $e$  (voir fig. 7):

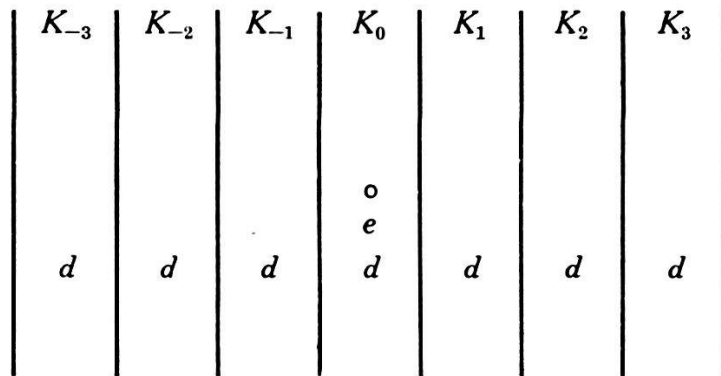


Fig. 7.

sont les suivantes:

distance de la charge  $e$ :

$$\Delta x$$

$$-\Delta x$$

image:

$$\frac{e}{K_0} \epsilon_{01}$$

$$\frac{e}{K_0} \epsilon_{01-1}$$

$$\begin{array}{l}
 3 \Delta x \\
 \vdots \\
 -3 \Delta x \\
 \vdots \\
 (2n + 1) \Delta x
 \end{array}
 \begin{array}{l}
 \frac{c}{K_0} \mu_{01} \varepsilon_{12} \mu_{01} \\
 \frac{c}{K_0} \mu_{0-1} \varepsilon_{-1-2} \mu_{-10} \\
 \vdots \\
 \frac{e}{K_0} \mu_{01} \mu_{12} \cdots \mu_{e_{n-2, 2n-1}} \varepsilon_{2n-1, 2n} \\
 \mu_{2n-1, 2n-2} \cdots \mu_{01}
 \end{array}$$

et une expression semblable pour  $x = -(2n + 1) \Delta x$ .

Les  $\varepsilon_{ij}$  et  $\mu_{ij}$  ont les significations données au paragraphe 4, équation (6). La force agissant sur  $e$  sera donc:

$$F = \frac{e^2}{K_0} \left[ \sum_{n=0}^{\infty} \frac{\varepsilon_{-n, -n(+1)}}{[(2n + 1) \Delta x]^2} \prod_{i=0}^n \mu_{-i-(i+1)} \mu_{-(i+1)-i} - \sum_{n=0}^{\infty} \frac{\varepsilon_{n, n+1}}{[(2n + 1) \Delta x]^2} \prod_{i=0}^n \mu_{i, i+1} \mu_{i+1, i} \right].$$

Mais, d'après la signification des  $\mu_{ij}$  et le fait que la constante diélectrique varie très peu d'une couche à l'autre, les produits deviennent tous égaux à l'unité. D'autre part,

$$\varepsilon_{n, n+1} = - \frac{1}{2K(x)} \frac{dK}{dx} dx$$

et

$$F = \frac{e^2}{K_0} \int_{-\infty}^{+\infty} \frac{1}{2K} \frac{1}{(2x)^2} \frac{dK}{dx} dx. \tag{10}$$

On voit donc que tout se passe comme si les charges d'images étaient devenues une charge linéaire de densité:

$$\rho(x) = \frac{e}{K_0} \frac{1}{8K(x)} \frac{dK}{dx}. \tag{11}$$

Genève, Laboratoire de physique de l'Université.